

Московский Государственный Университет имени
М.В. Ломоносова
Факультет вычислительной математики и кибернетики

Отчёт по заданию в рамках курса
«Суперкомпьютерное моделирование и технологии»
Численное решение задачи Дирихле для уравнения
Пуассона в криволинейной области

Выполнил:
Де Ен Де
608 группа
Вариант 3

Москва 2023

Содержание

1	Математическая постановка задачи	2
2	Численный метод решения уравнения	2
3	Краткое описание проделанной работы по созданию <i>OpenMP</i> -программы	3
4	Результаты расчетов для разных размеров задач и на разном числе нитей	3
5	Дополнительные графики	4

1 Математическая постановка задачи

В области $D \subset R^2$, ограниченной контуром γ , рассматривается дифференциальное уравнение Пуассона:

$$-\Delta u = 1,$$

в котором оператор Лапласа

$$\Delta u = \frac{\partial^2 u}{\partial x^2} + \frac{\partial^2 u}{\partial y^2},$$

Для выделения единственного решения уравнение дополняется граничным условием Дирихле:

$$u(x, y) = 0, (x, y) \in \gamma.$$

Для данной работы мне был предложен **вариант 3**, который соответствует следующим точкам: $A(3, 0), B(0, 2), C(-3, 0)$.

2 Численный метод решения уравнения

Для решения был выбран предложенный метод наименьших невязок. Этот метод позволяет получить последовательность сеточных функций $\omega^{(k)} \in H, k = 1, 2, \dots$, сходящуюся по норме пространства H к решению разностной схемы, т.е.

$$\|\omega - \omega^{(k)}\|_E \rightarrow 0, k \rightarrow \infty.$$

Начальное приближение $\omega^{(0)}$ равно нулю во всех точках расчетной сетки.

Метод является одношаговым. Итерация $\omega^{(k+1)}$ вычисляется по итерации $\omega^{(k)}$ согласно равенствам:

$$\omega_{ij}^{(k+1)} = \omega_{ij}^{(k)} - \tau_{k+1} r_{ij}^{(k)},$$

где невязка $r^{(k)} = A\omega^{(k)} - B$, итерационный параметр

$$\tau_{k+1} = \frac{(Ar^{(k)}, r^{(k)})}{\|Ar^{(k)}\|_E^2}.$$

В качестве условия остановки итерационного процесса следует использовать неравенство

$$\|\omega^{(k+1)} - \omega^{(k)}\|_E < \delta,$$

где δ – положительное число, определяющее точность итерационного метода.

3 Краткое описание проделанной работы по созданию *OpenMP*-программы

Для построения *OpenMP*-программы использовались следующие директивы:

```
#pragma omp parallel for default(shared) private(i, j) schedule(dynamic)
для арифметических операций сеточных функций,
#pragma omp parallel for default(shared) private(i) reduction(+: res) schedule(dynamic)
для вычисления суммы(скалярное произведение, интегрирование).
```

4 Результаты расчетов для разных размеров задач и на разном числе нитей

Выполнение последовательной программы решающей данное задание при $M = 80$, $N = 80$ заняло 270.971 секунды. А для $M=160$, $N=160$ заняло 913.675 секунд. Значение δ решено было взять равным 10^{-6} . Ускорение считалось как отношение времени выполнения последовательной программы к времени выполнения параллельной программы на той же сетке $Boost = \frac{time(sequential)}{time(parallel)}$.

Число <i>OpenMP</i> -нитей	Число точек сетки $M \times N$	Время решения (с)	Ускорение
2	80×80	176.46	1.53
4	80×80	141.96	1.90
8	80×80	103.24	2.62
16	80×80	74.81	3.62
4	160×160	439.11	2.08
8	160×160	449.07	2.03
16	160×160	190.53	4.79
32	160×160	139.22	6.56

Таблица 1: Таблица с результатами расчетов на ПВС IBM Polus (*OpenMP* код).

Число процессов <i>MPI</i>	Число точек сетки $M \times N$	Время решения (с)	Ускорение
2	80×80	129.03	2.09
4	80×80	75.19	3.59
2	160×160	320.11	2.85
4	160×160	227.15	4.02

Таблица 2: Таблица с результатами расчетов на ПВС IBM Polus (*MPI* код).

Число процессов <i>MPI</i>	Количество <i>OMP</i> -нитей в процессе	Число точек сетки $M \times N$	Время решения (с)	Ускорение
2	1	80×80	140.22	1.93
2	2	80×80	90.37	2.99
2	4	80×80	58.13	4.66
2	8	80×80	37.59	7.21
4	1	160×160	234.12	3.90
4	2	160×160	181.19	5.04
4	4	160×160	137.45	6.64
4	8	160×160	125.33	7.29

Таблица 3: Таблица с результатами расчетов на ПВС IBM Polus (*MPI+OpenMP* код).

5 Дополнительные графики

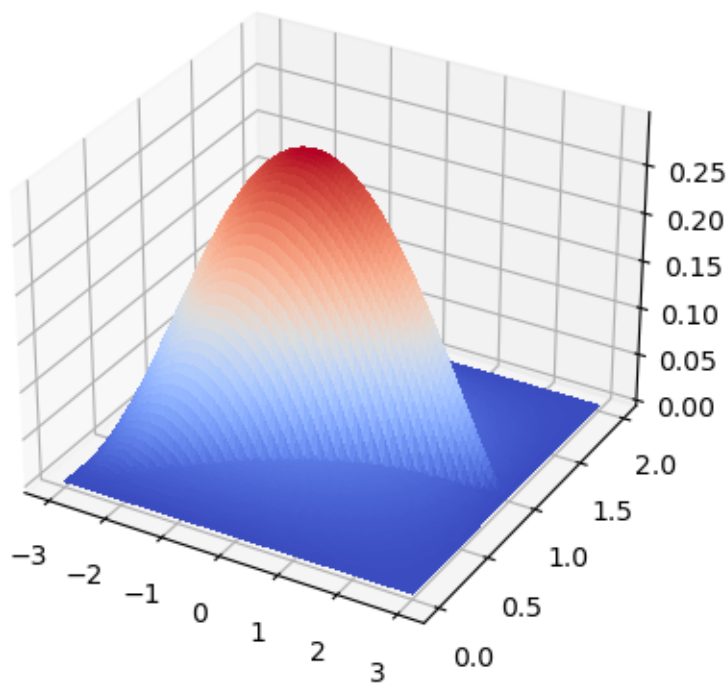


Рисунок 1. Численное решение при разбиении 80×80

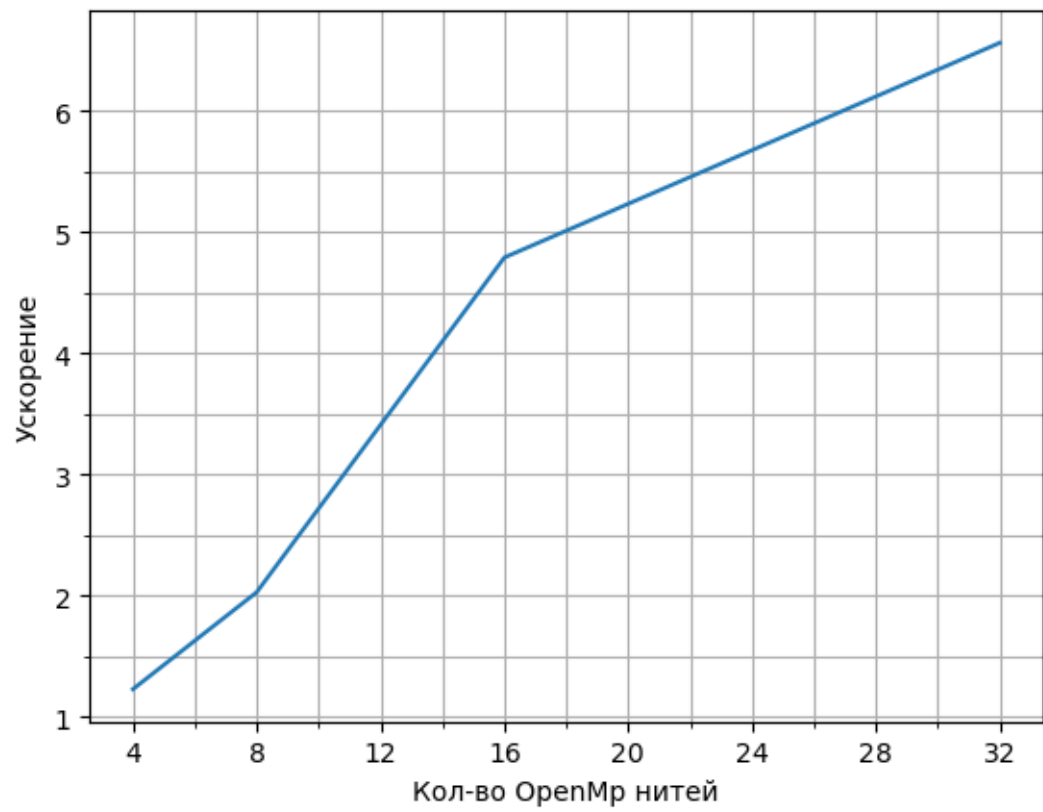


Рисунок 2. Зависимость выполнения задачи на сетке 160 * 160 от количества нитей OpenMP

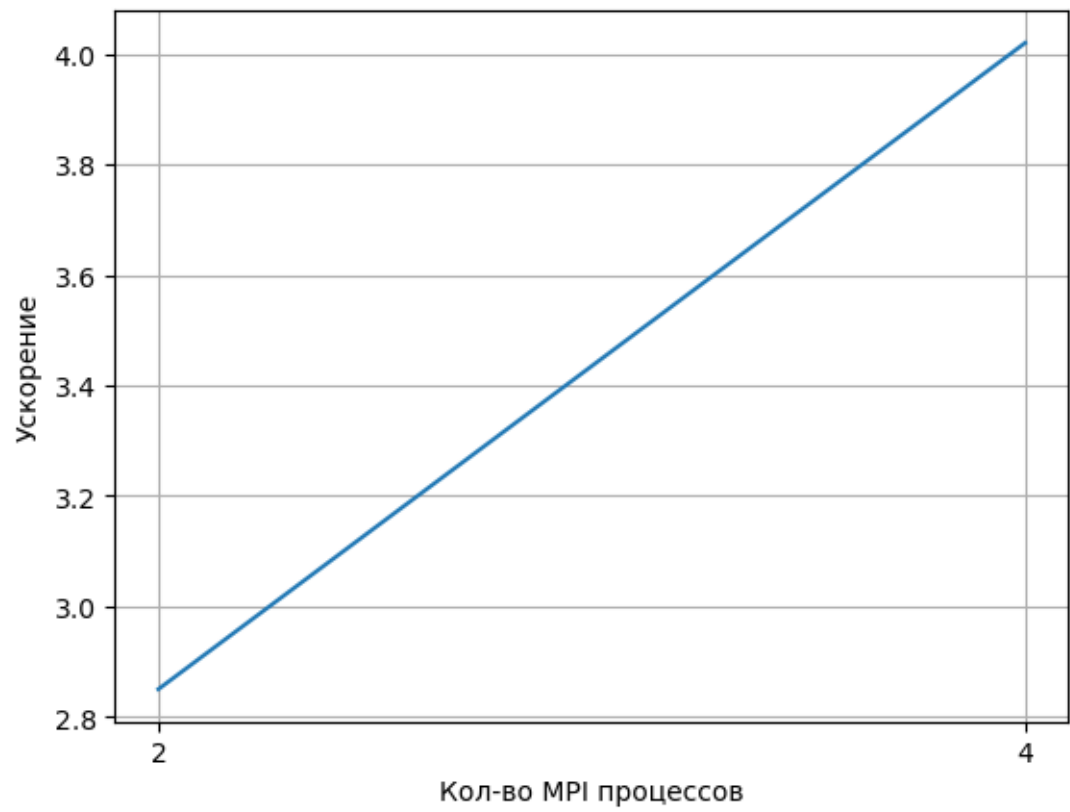


Рисунок 3. Зависимость выполнения задачи на сетке 160 * 160 от количества процессов MPI

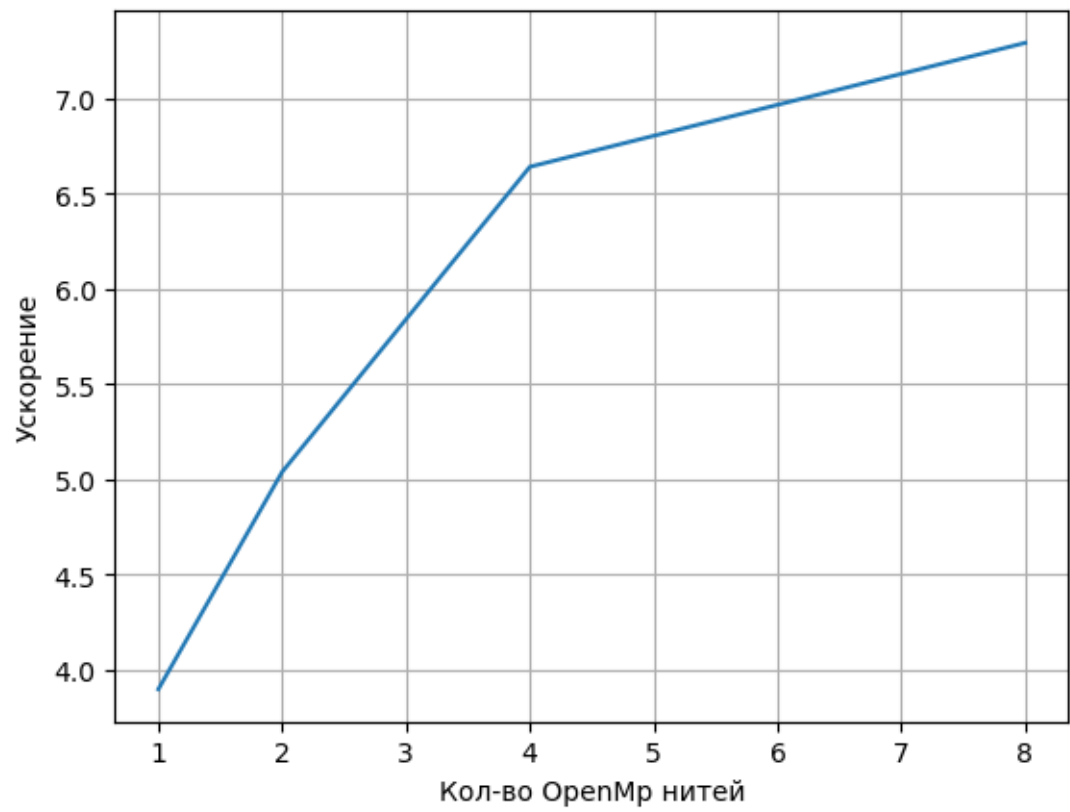


Рисунок 4. Зависимость выполнения задачи на сетке $160 * 160$ от количества нитей OpenMP с 4 процессами MPI

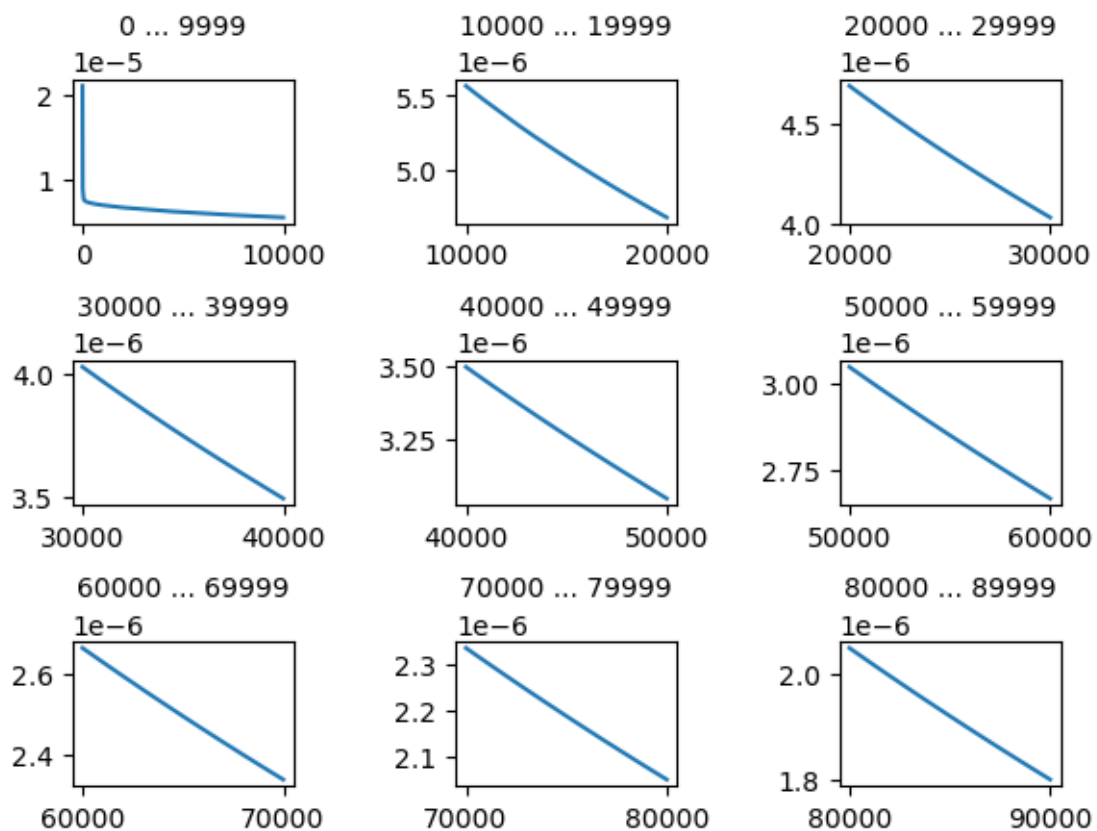


Рисунок 5. График сходимости на каждые 10000 итераций

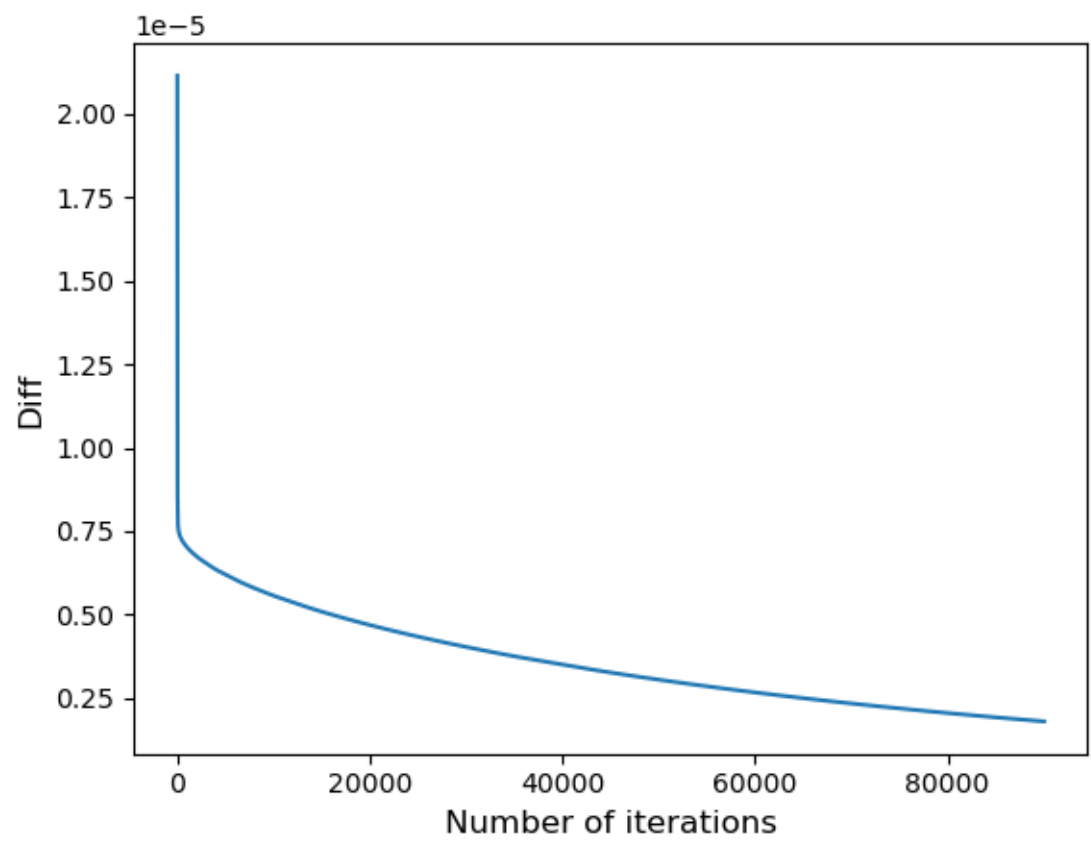


Рисунок 6. Общий график сходимости